



DOĞRU AKIM ÖZDİRENÇ VE MANYETOTELLÜRK VERİLERİİN TERS ÇÖZÜMÜ İÇİN MELEZ ALGORİTMA

Kadir Bahadır KARA*, Ertan PEKŞEN

Kocaeli Üniversitesi, Mühendislik Fakültesi, Jeofizik Mühendisliği Bölümü, İzmit, Kocaeli, Türkiye

Anahtar Kelimeler

*Melez Algoritma,
Ters Çözüm,
Tekil Değer Ayırımı,
Çok Hızlı Tavlama
Benzetimi.*

Öz

Bu çalışmada jeofizik verilerin ters çözümü için melez bir algoritma geliştirilmiştir. Melez algoritmda tekil değer ayırımı ve çok hızlı tavlama benzetimi yöntemleri ardışık olarak kullanılmıştır. Global optimizasyon yöntemi olan çok hızlı tavlama benzetimi yöntemi tekil değer ayırımı yönteminin başlangıç parametrelerinin ön kestirimi için kullanılmıştır. Ters çözüm algoritmasını test etmek amacıyla bir boyutlu doğru akım özdirenç ve manyetotellürük düz çözüm programı geliştirilmiştir. Bu programlar kullanılarak verilerin ters çözümü yapılmıştır. İlk önce verilerin ters çözümü tek başına tekil değer ayırımı ve çok hızlı tavlama benzetimi yöntemi kullanılarak yapılmıştır. Daha sonra ters çözüm, geliştirilen melez algoritma kullanılarak tekrarlanmıştır. Kestirilen parametreler ve programların çalışma süreleri birbirleri ile karşılaştırılmıştır. Ayrıca, arazi verilerinin sonuçları daha önce kestirilen parametreler ile karşılaştırılmıştır. Programların çalışma süresi ve parametre kestirimi açısından melez algoritmanın çok hızlı tavlama benzetimi ve tekil değer ayırımı yöntemlerinin tek başına kullanılmasından daha verimli olduğu gösterilmiştir.

A HYBRID ALGORITHM FOR THE INVERSION OF DIRECT CURRENT RESISTIVITY AND MAGNETOTELLURIC DATA

Keywords

*Hybrid Algorithm,
Inversion,
Singular Value
Decomposition,
Very Fast Simulated
Annealing.*

Abstract

In this study, a hybrid algorithm was developed for the inversion of geophysical data. In the hybrid algorithm, singular value decomposition and very fast simulated annealing methods were sequentially used to obtain the best result. Very fast simulated annealing method is a global optimization method is used for pre-estimation of initial values of singular value decomposition. To test the inversion algorithm, developed one-dimensional direct current resistivity and magnetotelluric forward modeling codes were used. By using these codes, synthetic data were generated. Firstly, the inversion of data was calculated by using standard singular value decomposition and very fast simulated annealing methods. Subsequently, the inversion was repeated by using the developed hybrid algorithm. Parameters that were estimated and the run times of the codes were compared with each other. In addition, the results of field data were compared with the previous works. It was shown that in terms of run time and parameter estimation, the hybrid algorithm is more efficient than only the use of very fast simulated annealing and singular value decomposition methods.

Alıntı / Cite

Kara, K. B., Pekşen, E., (2021). Doğru Akım Özdirenç ve Manyetotellürük Verilerinin Ters Çözümü İçin Melez Algoritma, Mühendislik Bilimleri ve Tasarım Dergisi, 9(1), 77-87.

Yazar Kimliği / Author ID (ORCID Number)

K.B. Kara, 0000-0002-8899-3005
E. Pekşen, 0000-0002-3515-1509

Makale Süreci / Article Process

Başvuru Tarihi / Submission Date	13.02.2019
Revizeyon Tarihi / Revision Date	25.12.2020
Kabul Tarihi / Accepted Date	29.12.2020
Yayın Tarihi / Published Date	30.03.2021

* İlgili yazar / Corresponding author: 155106028@kocaeli.edu.tr, +90-507-711-5991

1. Giriş (Introduction)

Jeofizik verilerinin yorumlanması sırasında veriyi etkileyen parametrelerinin doğru şekilde belirlenmesi önemlidir. Bu parametrelerin belirlenmesi amacıyla kullanılan yöntemler türev tabanlı ve global yöntemler olmak üzere iki bölümde incelenebilir. Türev tabanlı yöntemler çözüme hızlı ulaşmasına karşın çözüm parametreleri başlangıç modeline duyarlıdır. Global yöntemler ise başlangıç tahminlerine bağlı değildir. Fakat çözüme ulaşmak için daha fazla zamana gereksinim duyar. Ters çözümde veri ile model arasındaki en iyi uyum (global en küçük) aranır. Başlangıç modelinin iyi seçilmesi ön koşulu ile türev tabanlı yöntemler bu uyumu çok hızlı şekilde bulabilir. Fakat kötü seçilmiş başlangıç modeli parametrelerin yanlış belirlenmesine neden olacaktır ve veri ile model arasındaki uyum sağlanamayacaktır. Global yöntemler başlangıç modeline bağlı olmadıklarından, parametrelerin ön kestirimini için kullanılabilir.

Bu çalışmada türev tabanlı yöntem olan tekil değer ayırtımı (TDA) ve global optimizasyon yöntemi olan çok hızlı tavlama benzetimi (ÇHTB) yöntemi ardışık kullanılarak melez bir ters çözüm programı geliştirilmiştir. Literatürde birçok farklı melez algoritmalar düz ve ters çözüm problemlerinde modeli iyileştirmek ve hesaplama süresini düşürmek için kullanılmıştır ve genel olarak melez ters çözüm algoritmalarının türev tabanlı ve global yöntemlerin dezavantajını ortadan kaldırıldığı ifade edilmektedir (Başokur vd., 2007; Liu vd., 2015; Maio vd., 2016; Nqueyen ve Nestorovic, 2016; Göktürkler, 2018).

Bu çalışmada başlangıç parametrelerinin kestirimini için çok hızlı tavlama benzetimi yöntemi kullanılmıştır. Ingber (1989) tarafından hızlandırılan tavlama benzetimi (TB) yöntemi ÇHTB yöntemi olarak adlandırılmıştır. Yüksek sıcaklıkta başlatılan sistem diğer bir dedgele yüksek enerji ile başlatılan algoritma, parametrelerin alt ve üst sınırı arasında rastgele arama yapar. Rastgele arama sıcaklığı bağlı bir fonksiyondur. Sistem yüksek sıcaklıklarda karasızdır fakat sistem soğudukça global minimuma yaklaşacaktır. Her ne kadar yöntem hızlandırılmış olsa da global minimuma yaklaşmak için türev tabanlı yöntemlere göre daha fazla süreye ihtiyaç duyar. Fakat parametrelerin ön kestirimini için global minimuma yaklaşmasına ihtiyaç yoktur. ÇHTB yöntemi ile ön kestirimini yapılan parametreler TDA yöntemi için başlangıç parametresi olarak kabul edilebilir. TDA yöntemi matris tekilliğinin üstesinden gelmek için kullanılan oldukça iyi bir yöntemdir (Golub ve Reinsch, 1971). TDA yöntemi jeofizikte parametre kestirimini için sıkılıkla kullanılmaktadır. Yöntem türev tabanlı bir yöntem olduğundan iyi bir başlangıç parametre kestirimine ihtiyaç duyar. Veri ile model arasındaki belli bir eşik değeri sağlandığında yineleme işlemi durdurulur. Bu nedenle başlangıç parametrelerinin ön kestirimini ÇHTB yöntemi ile yapılması programın hem hızını hem de doğruluğunu artıracaktır.

Çalışmada geliştirilen ters çözüm programını test etmek amacıyla bir boyutlu doğru akım özdirenç (DAÖ) ve bir boyutlu manyetotellürik (MT) düz çözüm programları geliştirilmiştir. Geliştirilen düz çözüm programları kullanılarak DAÖ ve MT yöntemleri için birer adet sentetik ve arazi verisi değerlendirilmiştir. DAÖ yönteminde Slaoui (2003) tarafından verilen veri ters çözülmüştür ve sonuçlar karşılaştırılmıştır. MT yöntemi için ise Meju (1992) tarafından verilen 'Coprod' verisinin ters çözümü yapılmıştır. Ters çözüm işlemi TDA, ÇHTB ve melez ters çözüm programları aynı başlangıç parametreleri kullanılarak tekrarlanmıştır. Elde edilen parametreler ve programların çalışma süreleri birbirleri ile karşılaştırılmıştır.

2. Düz Çözüm (Forward Modelling)

2.1. 1B Doğru Akım Özdirenç Yöntemi (1D Direct-Current Resistivity Method)

Teorik olarak Schlumberger dizilişi için izotropik ortamda özdirençin nasıl hesaplandığı aşağıda özetlenmiştir. Yüzeyin herhangi bir x noktası ve z derinliği için nokta akım kaynağı için potansiyel değeri

$$v(x, z) = \frac{I\rho}{2\pi r} \quad (1)$$

ile hesaplanır. Burada I akım, r ise akım ile potansiyel elektrotları arasındaki mesafedir. $r = \sqrt{x^2 + z^2}$ bağıntısı ile hesaplanır. ρ ise ortamın özdirencidir (Grant ve West, 1965). Analitik olarak iki tabakalı ortamda özdirenç Denklem 2 ile hesaplanabilir (Telford vd., 1996).

$$\rho_{ai} = \rho_i \left[1 + 2p \sum_{m=1}^{\infty} k^m \left(\begin{array}{c} \frac{1}{(r_1^2 + 4m^2 z^2)^{\frac{1}{2}}} - \frac{1}{(r_2^2 + 4m^2 z^2)^{\frac{1}{2}}} \\ - \frac{1}{(r_3^2 + 4m^2 z^2)^{\frac{1}{2}}} + \frac{1}{(r_4^2 + 4m^2 z^2)^{\frac{1}{2}}} \end{array} \right) \right] \quad (2)$$

burada ρ_1 birinci tabakanın özdirenci ve z birinci tabakanın kalınlığıdır. m ise değişenlerin toplanması için gerekli sabittir. r_1, r_2, r_3 ve r_4 ise elektrotlar arasındaki mesafedir. p değişkeni

$$p = \left\{ \left[\frac{1}{r_1} - \frac{1}{r_2} \right] - \left[\frac{1}{r_3} - \frac{1}{r_4} \right] \right\}^{-1} \quad (3)$$

ile hesaplanabilir ve k değişkeni ise Denklem (4) ile hesaplanabilir.

$$k = \frac{(\rho_2 - \rho_1)}{(\rho_2 + \rho_1)} \quad (4)$$

burada ρ_2 ikinci tabakanın özdirencidir. Tabakalı ortamda Schlumberger dizilimi için yarı analitik çözüm,

$$\rho_a(L) = L^2 \int_0^\infty T(\lambda) J_1(\lambda L) \lambda d\lambda \quad (5)$$

denklemi ile hesaplanabilir. L elektrotlar arası uzaklığın yarısıdır, J_1 birinci derecen Bessel fonksiyonudur. T ise dönüşük özdirenç fonksiyonudur ve Denklem (6) ile hesaplanır.

$$T_i = \frac{T_{i+1}(\lambda) + \rho_i \tanh(\lambda z_i)}{1 + T_{i+1}(\lambda) \tanh(\lambda z_i) / \rho_i} \quad (6)$$

$i = n-1, \dots, 1$

Denklem 6 da ρ_i i. tabakanın özdirenci, z_i i. tabakanın kalınlığıdır ve n tabaka sayısıdır (Koefoed, 1979). 1-B DAÖ yönteminin model tepkileri yarı analitik denklem sistemi kullanılarak hesaplanmıştır.

2.2. 1B Manyetotellürik Yöntemi (1B Magnetotelluric Method)

1B manyetotellürik yöntemde teorik olarak model cevabının nasıl hesaplanacağı aşağıda özetlenmiştir. MT yönteminde elektrik ve manyetik alan bileşenleri zamanın fonksiyonu olarak ölçülür. Ölçülen bileşenler frekans ortamına aktarılarak özdirenç ve faz eğrileri elde edilir. Maxwell denklemlerinin birincisi Faraday yasası,

$$\nabla \times \vec{E} = -\frac{\partial \vec{B}}{\partial t} \quad (7)$$

ile verilir. Düzlem dalga kabulu yapılrsa ve Faraday yasası frekans ortamında,

$$\begin{bmatrix} dx & dy & dz \\ \partial/\partial x & \partial/\partial y & \partial/\partial z \\ E_x & E_y & 0 \end{bmatrix} = -i\omega\mu_0 (H_x d_x + H_y d_y) \quad (8)$$

şeklinde yazılır. Bünye denklemlerinden (constitutive relations) $B = \mu_0 H$ dir ve x ve y yönündeki değişimler sıfır alınırsa

$$H_x = -\frac{1}{i\omega\mu_0} \frac{dE_y}{dz} \quad (9)$$

$$H_y = \frac{1}{i\omega\mu_0} \frac{dE_x}{dz} \quad (10)$$

elde edilir. Elektrik alanın manyetik alana oranına empedans (Z) denilirse

$$Z_{xy} = -\frac{E_x(z)}{H_y(z)} \quad (11)$$

$$Z_{yx} = \frac{E_x(z)}{H_y(z)} \quad (12)$$

şeklinde hesaplanır. Empedans bağıntıları cinsinden Cagniard (1953) görünür özdirenç ve faz bağıntıları

$$\rho_{xy} = \frac{1}{\omega \mu_0} |Z_{xy}|^2 \quad (13)$$

$$\varphi_{xy} = a \tan \left(\frac{\Im(Z_{xy})}{\Re(Z_{xy})} \right) \quad (14)$$

$$\rho_{yx} = \frac{1}{\omega \mu_0} |Z_{yx}|^2 \quad (15)$$

$$\varphi_{yx} = a \tan \left(\frac{\Im(Z_{yx})}{\Re(Z_{yx})} \right) \quad (16)$$

Tabakalı ortamda 1B MT model tepkisi

$$R(j) = \frac{1 - K(j)e^{(-2ik_u z(N-j+1))}}{1 + K(j)e^{(-2ik_u z(N-j+1))}} \quad (17)$$

ile hesaplanır (Zhdanov ve Keller, 1994). Burada, $R(j)$ yansımaya katsayılarını, z tabaka kalınlığını, N ise tabaka sayısını göstermektedir. $K(j)$, k_u ve k_l sırayla Denklem (18), (19) ve (20)

$$K(j) = \frac{1 - \frac{k_u}{k_l} R(j-1)}{1 + \frac{k_u}{k_l} R(j-1)} \quad (18)$$

$$k_u = \sqrt{i\omega \mu_0 \sigma(N-j+1)} \quad (19)$$

$$k_l = \sqrt{i\omega \mu_0 \sigma(N-j+2)} \quad (20)$$

ile hesaplanabilir. k_u ve k_l sırayla tabakalardaki alt ve üst dalga sayılarını göstermektedir. Geliştirilen programda 1B model düz çözüm operatöründe Denklem (17) bağıntısı kullanılmıştır. MT yöntemi hakkında detaylı bilgi Cangiard (1953), Zhdanov ve Keller (1994), Meju (1994) kaynaklarından elde edinilebilir.

3. Ters Çözüm (Inversion)

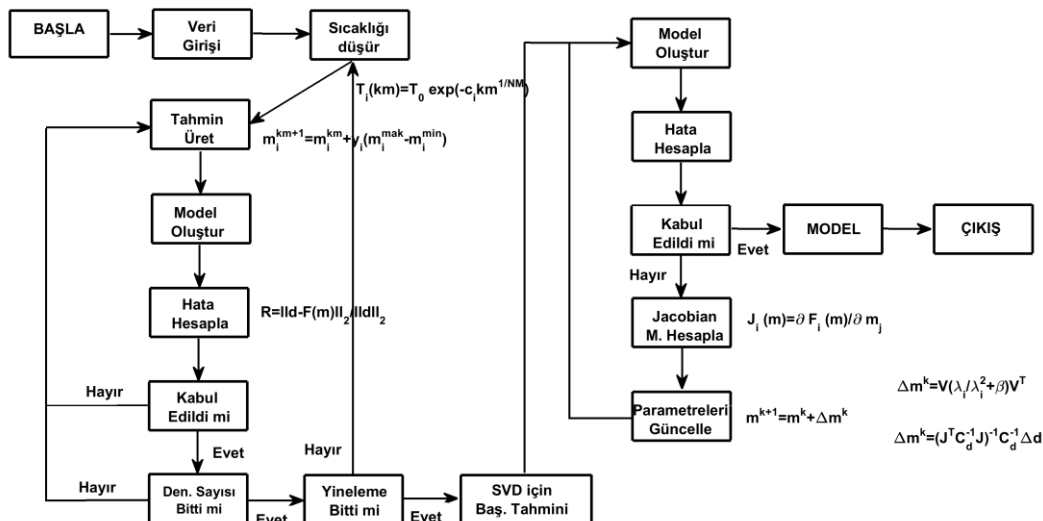
Jeofizik ölçüler alındıktan sonra ölçüyü oluşturan parametrelerin belirlenebilmesi (tabaka özdirenç, tabaka kalınlığı vb.) için ters çözüm yapılmalıdır. Jeofizik ölçülerin ters çözümü için birçok yöntem geliştirilmiştir. Bu yöntemler türev tabanlı (Gauss-Newton, Levenberg-Marquardt vb.) ve global yöntemler (ÇHTB, PSO vb.) olarak ikiye ayrılabilir. Türev tabanlı yöntemler birçok farklı jeofizik yöntemin ters çözümü için kullanılmıştır (Tikhonov ve Arsenin, 1977; Meju, 1994; Aster vd. 2005; Başokur, 2015). Aynı zamanda global yöntemlerde farklı jeofizik verilerinin ters çözümü için kullanılmıştır (Başokur vd., 2007; Sharma, 2011; Sen ve Stoffa, 2013; Balkaya, 2013; Kara ve Pekşen, 2017). Fakat her iki yönteminde (türev tabanlı ve global) üstünlükleri ve zayıflıkları bulunmaktadır. Türev tabanlı yöntemler başlangıç modeline bağlı olmasına rağmen global yöntemler başlangıç parametrelerine bağlı değildir. Global yöntemlerde doğru parametrelerin çözüm aralığında olması yeterlidir (Sen ve Stoffa, 2013). Fakat global yöntemler rastgele arama yapan yöntemler olduklarından çözüme ulaşması türev tabanlı yöntemlere göre daha fazla zaman almaktadır.

Bu çalışma içerisinde tekil değer ayırtımı (TDA) ve (ÇHTB) yöntemleri ardışık kullanılarak iki yönteminde zayıflıkları giderilmeye çalışılmıştır. Çok hızlı tavlama benzetimi yöntemi (ÇHTB) türev tabanlı (TDA) yöntem için

başlangıç parametresi belirlemektedir. Böylece hem TDA için başlangıç parametreleri ve hem de zemin parametreleri daha kısa sürede doğru tahmin edilecektir. Programın akış şeması Şekil 1 de verilmiştir.

3.1. Çok Hızlı Tavlama Benzetimi (Very Fast Simulated Annealing)

Çok hızlı tavlama benzetimi (ÇHTB) yöntemi rastgele arama yapan global optimizasyon yöntemidir. Yöntem metallerin ısıtılp tekrar soğutma yapılarak sertleştirme işlemini taklit eder. Tavlama benzetimi (TB) yönteminde Gauss dağılımı kullanılırken ÇHTB yönteminde Cauchy dağılımı kullanılır. Bu dağılım sıcaklığın daha hızlı düşürülmescine izin verir. ÇHTB yöntemi hakkında detaylı bilgi Sen ve Stoffa (2013) ten edinilebilir.



Şekil 1. Ters çözüm programının akış şeması (The flowchart of the inversion program)

Jeofizik bir problemin düz çözümü izleyen şekildeki doğrusal denklem sistemi şeklinde yazılabılır.

$$d = F(m) \quad (21)$$

burada d gözlem verisi, F düz çözüm operatörü, m ise model parametreleridir. Ters çözüm algoritması (ÇHTB) içerisinde düz çözüm operatörü çağrırlarak (F) model parametreleri (m) kestirilmeye çalışılır. Her yinelemede bağlı hata Denklem (22) ile hesaplanır.

$$RE = \frac{\|d - F(m)\|_2}{\|d\|_2} \quad (22)$$

burada, RE bağılı hatadır. Ters çözümde her bir yinelemedeki rastgele arama Denklem (23) ile belirlenir.

$$m_i^{km+1} = m_i^{km} + y_i(m_i^{\text{mak}} - m_i^{\text{min}}) \quad (23)$$

burada, m_i^{km+1} bir sonraki yineleme adımındaki parametreler, m_i^{mak} parametrelerin üst sınırını, m_i^{min} parametrelerin alt sınırı, km ise yineleme sayısıdır. Denklem (23) deki y_i

$$y_i = \text{sgn}(u_i - 0.5)T_i \left[\left(1 + \frac{1}{T_i} \right)^{|2u_i - 1|} - 1 \right] \quad (24)$$

ile hesaplanır. Denklem (24)'te sgn işaret fonksiyonu (-1 ya da 1), u_i 0 ile 1 arasında değişen rastgele bir sayı, T_i ise sıcaklıktır. Sıcaklık

$$T_i(km) = T_0 \exp(-c_i km^{1/NM}) \quad (25)$$

ile hesaplanır. Burada T_0 başlangıç sıcaklığı, c ise probleme özel bir katsayıyı göstermektedir. Bu çalışmada 1 olarak alınmıştır. NM ise rastgele arama yapılan parametre sayısıdır. Ters çözümde ÇBHT yöntemi tek başına

kullanıldığında yineleme adım sayısı 100-150 olmalı ve her yinelemede 200-250 rastgele deneme yapılmadır. Fakat ÇHTB yöntemi TDA için başlangıç parametre kestirimini için kullanıldığında; 20 yineleme ve her yinelemede 100-150 arama yapılması TDA yöntemi için başlangıç parametre kestirimini doğru şekilde yapılmasını sağlayacaktır.

3.2. Tekil Değer Ayrışımı (Singular Value Decomposition)

TDA yöntemi jeofizikte verilerin ters çözümü için en sık kullanılan ve en başarılı yöntemlerden biridir. Fakat verilerin ters çözümü yapılırken parametrelerin başlangıç tahminleri model parametrelerinden çok uzak olduğunda tahmin edilen parametreler model parametrelerine iraksayacaktır ve elde edilen parametrelerin yanlışmasına neden olacaktır. Bu yöntemde A matrisi üç adet matrisin çarpıdır (Golub ve Reinsch, 1971).

$$A = USV^T \quad (26)$$

burada, U ve V ortogonal matris, S ise köşegen matrisidir. Doğrusal olmayan ters çözümlerde Jacobian matrisi mutlaka hesaplanmalıdır. Jacobian matrisi

$$J_{ij}(m) = \frac{\partial F_i(m)}{\partial m_j} \quad (27)$$

ile hesaplanır. Burada, (m_j) model parametrelerindeki değişim, $F_i(m)$ ise teorik değişim duyarlılığıdır. Yeni model parametreleri Denklem (28) ile elde edilir.

$$m^{k+1} = m^k + \Delta m^k \quad (28)$$

burada m^{k+1} bir sonraki yinelemedeki parametreler, Δm^k ise Denklem (29) ve (30) ile hesaplanır.

$$\Delta m^k = V \left(\frac{\lambda_i}{\lambda_i^2 + \beta} \right) V^T \quad (29)$$

$$\Delta m^k = (J^T C_d^{-1} J)^{-1} J^T C_d^{-1} \Delta d \quad (30)$$

Denklem (29)'da ki λ_i i. dereceden sistemin öz değeri, β ise kısıtlama faktörüdür. Denklem (30)'deki C_d kovaryans matrisi, Δd ise gözlem ve teorik veri arasındaki farktır ($\Delta d = d - F(m)$). TDA yöntemi hakkında detaylı bilgi Golub ve Loan (1996) dan elde edilebilir.

TDA yönteminde başlangıç tahminlerinin iyi şekilde seçilmesi hesaplanan model parametrelerini doğruluunu büyük ölçüde etkileyecektir. Bu nedenle başlangıç tahminlerinin ÇHTB yöntemi ile yapılması yöntemin başarısını artıracaktır.

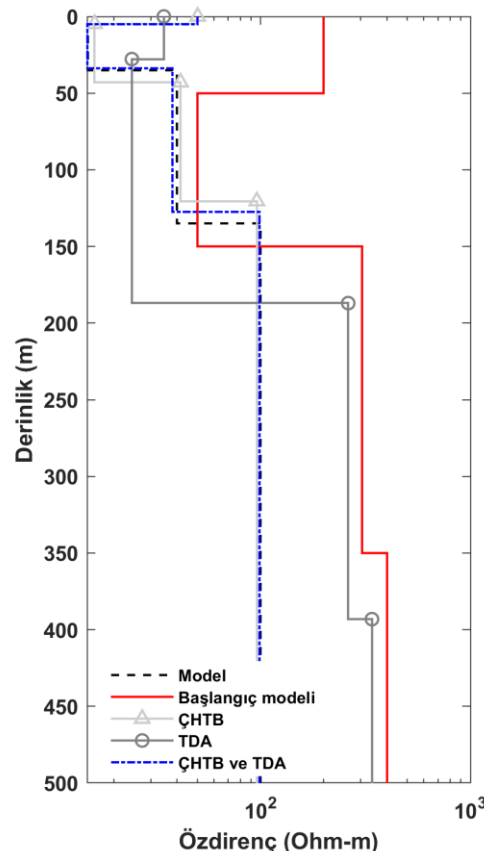
4. Sentetik ve Arazi Veri Örnekleri (Synthetic and Field Data Examples)

4.1. 1-B DAÖ Yöntemi İçin Sentetik ve Arazi Verileri (The Synthetic and Field Data for The DC Method)

DAÖ yönteminde dört tabakalı yapay verinin ve üç tabakalı arazi verisinin ters çözümü yapılmıştır. Ters çözüm işlemi tek başına ÇHTB, TDA kullanılarak ve ÇHTB ile TDA birlikte kullanılarak 3 kez tekrarlanmıştır. Modelin başlangıç tahminleri her üç ters çözüm için aynı seçilmiştir. TDA yönteminin doğru çözüm için başlangıç tahminlerine bağlı olduğunu ve ÇHTB yönteminin başlangıç tahminlerine bağlı olmadığını göstermek amacıyla; başlangıç tahminleri model parametrelerinden uzak seçilmiştir. Yapay model ve ters çözüm sonuçları Şekil 2 ve Tablo 1 de verilmiştir.

Her üç çözümde hesaplanan parametreler incelendiğinde, TDA yöntemi başlangıç parametrelerine bağlı olduğundan model parametrelerine doğru kestirilememiştir. Yapay DAÖ modeli tek başına ÇHTB ve melez algoritma kullanıldığındaysa çözülebilmiştir. Sadece ÇHTB yöntemi kullanılarak çözülen sentetik model çözüme 63 saniyede ulaşmıştır. ÇHTB ve TDA birlikte kullanıldığındaysa ise 21 saniyede çözüme ulaşılmıştır. 42 saniyelik zaman kazancı az görünse de çok boyutlu ortamların (2B-3B) ters çözümünde bu zaman farkı çok daha önemli olacaktır ve hesaplanan zemin parametrelerinin doğruluğunu artıracaktır.

Arazi verisinde ise Slaoui vd. (2003) tarafından verilen verinin ters çözümü yapılmıştır ve kestirilen parametreler makaledeki sonuçlar ile karşılaştırılmıştır. Slaoui vd. (2003) ters çözüm algoritması olarak Levenberg-Marquardt yöntemini kullanmıştır. Bu yöntem matris tekilliğinden kaçınmak için modifiye edilmiş Gauss-Newton yöntemidir. Ters çözümde veri üç tabakalı olarak değerlendirilmiş olup, sonuçlar Tablo 2 verilmiştir. Arazi verisi ile hesaplanan eğri Şekil 3 de ve hesaplanan tüm modeller Şekil 4 de gösterilmiştir.



Şekil 2. 1B sentetik DAÖ verisinin ters çözümü (The inversion of 1D synthetic DC data)

Tablo 1. DAÖ sentetik verisi için kestirilen parametre sonuçları (The estimated parameters for the synthetic DC data)

Parametreler	Gerçek değerler	Başlangıç değerleri	ÇHTB	TDA	ÇHTB ve TDA
ρ_1 (ohm-m)	50	200	50.2	34.6	49.9
z_1 (m)	5	50	4.8	27.8	5
ρ_2 (ohm-m)	15	50	16.2	24.36	14.9
z_2 (m)	30	100	38.2	159.2	28.7
ρ_3 (ohm-m)	40	305	41.6	261.6	38.1
z_3 (m)	100	200	77.5	206.2	93.6
ρ_4 (ohm-m)	100	400	95.9	339.5	98.8
Zaman (s)	-	-	63	4	21
Bağıl hata	-	-	0.4	24	0.05

Tablo 2. Arazi verisinin kestirilen parametre sonuçları (Estimated parameters for the field data)

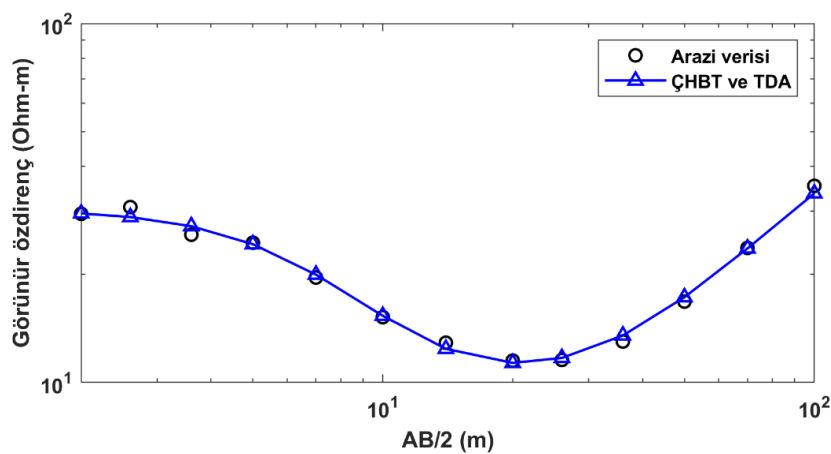
Parametreler	Başlangıç değerleri	Slaoui vd. (2003)	ÇHTB	TDA	ÇHTB ve TDA
ρ_1 (ohm-m)	100	30.2	30.6	17.5	30.2
z_1 (m)	20	3.6	3.4	18.85	3.4
ρ_2 (ohm-m)	70	8.36	9.4	21	9.5
z_2 (m)	50	21.6	25.9	62.07	26.77
ρ_3 (ohm-m)	300	864.6	3000	283.2	3395
Zaman (s)	-	-	14.1	0.6	4.8
Bağıl hata	-	0.75	0.80	8	0.85

Arazi verisi ÇHTB yöntemi ve melez algoritma kullanılarak ters çözümü yapıldığında Slaoui vd. (2003) tarafından kestirilen parametreler oldukça yakın olduğu görülmektedir. ÇHTB yöntemi ile ters çözüm 14.1 s sürerken melez algoritma ile 4.8 s de çözülmüştür. Başlangıç parametreleri kötü seçildiğinden TDA yöntemi ile çözülememiştir.

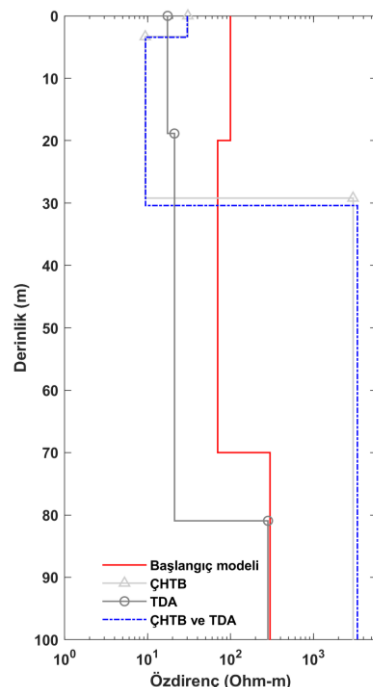
4.2 1-B MT Yöntemi İçin Sentetik ve Arazi Verileri (The Synthetic and Field Data for The MT Method)

Bu yapay örnekte ise 3 tabakalı bir MT verisinin ters çözümü yapılmıştır. DAÖ yönteminde olduğu gibi yapay verinin çözümü 3 kez tekrarlanmıştır. Başlangıç tahminleri her üç çözüm için aynı alınmıştır. Hesaplanan parametreler ve model parametreleri Şekil 5 ve Tablo 3 de verilmiştir.

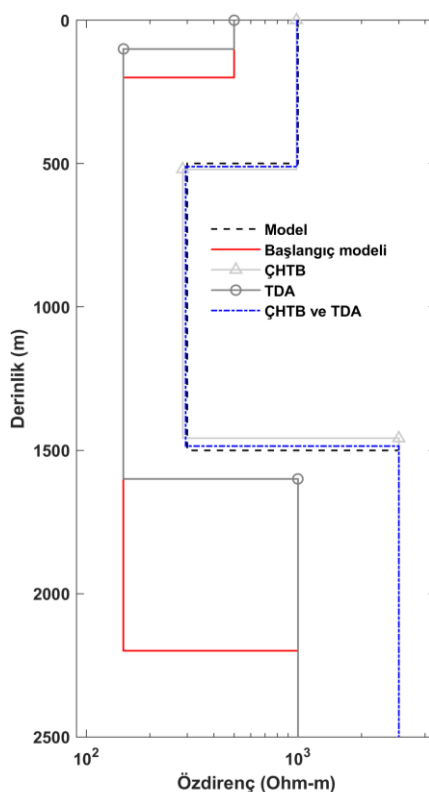
Şekil 5 ve Tablo 3 incelendiğinde DAÖ özdirenç yönteminde olduğu gibi TDA yönteminde elde edilen parametreler yapay verinin parametrelerinden oldukça uzaktır. Fakat diğer iki yöntem kullanıldığında (ÇHTB ve melez) oldukça yakın olduğu görülmektedir. ÇHTB yöntemi tek başına kullanıldığında yapay verinin parametrelerini 56 saniyede çözerken; TDA yöntemi ile birlikte kullanıldığında 6 saniyede çözüme başarılı şekilde ulaşılmıştır.



Şekil 3. Arazi verisi (Slaoui vd., 2003) ve ÇHTB ve TDA ile kestirilen eğri (The field data (Slaoui et al., 2003) and estimated curve by VFSA and SVD)



Şekil 4. Slaoui vd., (2003) tarafından verilen verinin ters çözümü (Inversion of the data given by Slaoui et al., (2003))



Şekil 5. 1B sentetik MT verisinin ters çözümü (The inversion of 1D synthetic MT data)

MT yönteminde Meju (1992) tarafından TDA yöntemi ile çözülen ‘Coprod’ verisinin ters çözümü yapılmıştır. Ters çözüm sonuçları birbirleri ile karşılaştırılmıştır. Sonuçlar Şekil 6-7 de ve Tablo 4 de verilmiştir.

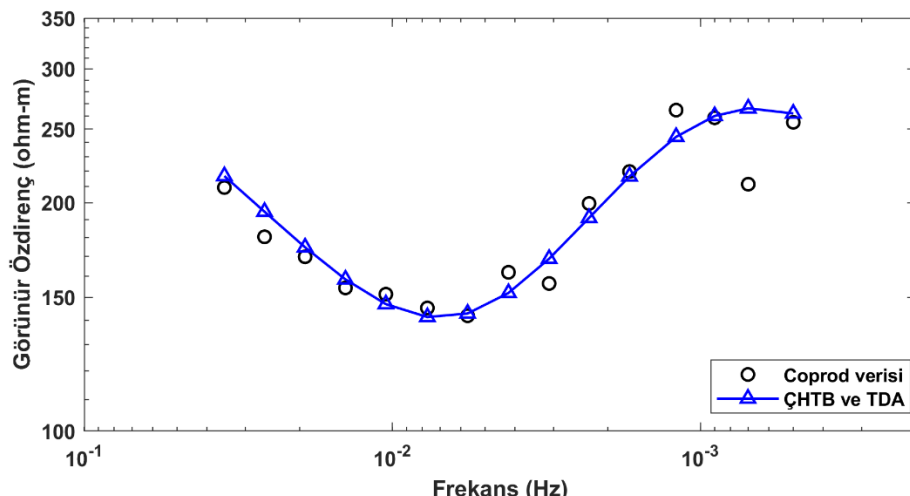
Kestirilen parametreler Meju (1992) tarafından kestirilen parametrelerle karşılaştırıldığında birbirleri ile örtüşmektedir. CHTB yöntemi ile parametreler 11.2 s de, melez algoritma ile 1.64 s de kestirilmiştir. Bu durum türev tabanlı ve global yöntemlerin birlikte kullanılarak doğru ve hızlı şekilde jeofizik verilerin çözülebileceğini göstermektedir.

Tablo 3. MT sentetik verisi için kestirilen parametre sonuçları (The estimated parameters for the synthetic MT data)

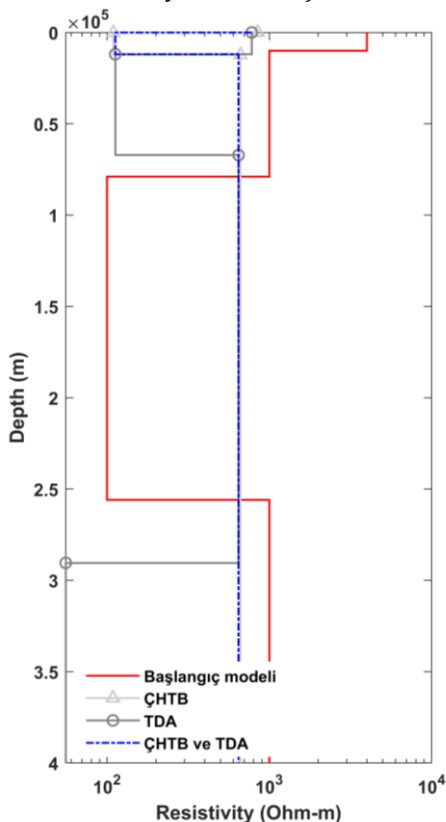
Parametreler	Gerçek değerler	Başlangıç değerleri	ÇHTB	TDA	ÇHTB ve TDA
ρ_1 (ohm-m)	1000	500	983	500	991
z_1 (m)	500	200	519	100	509
ρ_2 (ohm-m)	300	150	285	150	294
z_2 (m)	1000	2000	938	1500	995
ρ_3 (ohm-m)	3000	1000	2998	1000	2997
Zaman (s)	-	-	56	2	6
Bağıl hata	-	-	1.8	1891	0.87

Tablo 4. Coprod verisi için kestirilen parametre sonuçları (The estimated parameters for Coprod data)

Parametreler	Başlangıç değerleri	Meju (1992)	ÇHTB	TDA	ÇHTB ve TDA
ρ_1 (ohm-m)	4000	653.9	848.3	3824.8	779.9
z_1 (m)	10000	14062.3	12219.5	5473.1	11907.1
ρ_2 (ohm-m)	1000	106.8	109.5	475.1	112.4
z_2 (m)	69000	67828.1	52908	12563.1	55253.4
ρ_3 (ohm-m)	100	842.7	663	76.1	646.3
z_3 (m)	177000	313061	218771.3	27613.4	223270.9
ρ_4 (ohm-m)	1000	101	72	499.5	55.7
Zaman (s)	-	-	11.2	1.48	1.64
Bağıl hata	-	12.1	6.91	11.97	6.96



Şekil 6. Coprod verisi (Meju, 1992) ve melez yöntemle kestirilen eğri (Coprod data (Meju, 1992) and the curve estimated by hybrid method)



Şekil 7. Coprod verisinin ters çözümü (Inversion of Coprod data)

5. Sonuç (Result)

Bu çalışmada türev tabanlı ve global optimizasyon yöntemlerinin melez bir algoritma ile ardışık kullanımının önemi ve başarısı gösterilmiştir. Ters çözüm algoritmasını test etmek amacıyla bir boyutlu DAÖ ve MT düz çözüm programları geliştirilmiştir. Geliştirilen programlarda birer adet sentetik verinin ve arazi verisinin ters çözümü yapılmıştır. Ters çözümde her bir tabakasının özdirenci ve tabaka kalınlıkları kestirilmiştir.

TDA yönteminde parametrelerin başlangıç tahminlerinin kötü kestirilmesi durumunda yöntemin başarısız olacağı gösterilmiştir. ÇHTB yöntemi tek başına kullanıldığında parametreler çözülmeye rağmen uzun zaman almıştır. ÇHTB ve TDA yöntemi birlikte kullanıldığında ise hem parametreler model parametrelerine oldukça yakın hesaplanmıştır hem de kısa sürede çözülmüştür. Melez algoritma kullanıldığındaysa başlangıç sıcaklığı 20 (20 yineleme) ve her sıcaklık için 120 rasgele arama yapılmıştır. Buradan elde edilen parametreler TDA yöntemi için başlangıç parametreleri olarak kullanılmıştır. TDA ise son model parametrelerine ortalama 10 yineleme sonucunda ulaşmıştır. Geliştirilen algoritmanın jeofizik verilerinin ters çözümü için kullanılabilceği gösterilmiştir.

Teşekkür (Acknowledgment)

Görüş ve eleştirileriyle bu çalışmanın gelişmesine katkı sağlayan iki anonim hakeme teşekkür ederiz.

Çıkar Çatışması (Conflict of Interest)

Yazarlar tarafından herhangi bir çıkar çatışması beyan edilmemiştir. No conflict of interest was declared by the authors.

Kaynaklar (References)

- Aster RC, Borchers B, Thurber CH, 2005. Parameter Estimation and Inverse Problems. London, UK: Elsevier.
- Balkaya Ç., 2013. An implementation of differential evolution algorithm for inversion of geoelectrical data, Journal of Applied Geophysics, 98, 160-175.
- Başokur, A.T., Akça, İ., Siyam, N., 2007. Hybrid genetic algorithms in view of the evolution theories with application for the electrical sounding method, Geophysical Prospecting, 55 (3), 393-406.
- Başokur, A.T., 2015. Türev tabanlı parametre kestirim yöntemleri, TMMOB Jeofizik Mühendisleri Odası yayını, Ankara.
- Cagniard, L., 1953. Basic Theory of the Magneto-telluric Method of Geophysical Prospecting, Geophysics, 18, 605-635.
- Di Maio R., Rani P., Piegari E., Milano L., 2016. Self-potential data inversion trough a Genetic-Price algorithm, Computer & Geosciences, 94, 86-95.
- Golub G.H., Reinsch, C., 1971. Singular value decomposition and least squares solutions, Numerical Mathematics, 13, 403-420.
- Golub G.H., Van Loan C.F., 1996. Matrix Computations, Baltimore, MD, USA, Johns Hopkins University Press.
- Göktürkler, G., 2018. A hybrid approach for tomographic inversion of crosshole seismic first-arrival times. Journal of Geophysics and Engineering 8 (1), 99-108.
- Grant, F.S., West, G.F., 1965. Interpretation theory in applied geophysics. McGraw-Hill, New York.
- Ingber, L., 1989. Very fast simulated reannealing. Mathematical and Computer Modeling, 12 (8), 967 –993.
- Kara, K.B., Pekşen, E., 2017. 1D fullwaveform optimization using Gpr data, 9th Congress of the Balkan Geophysical Society, Antalya. doi:10.3997/2214-4609.201702521.
- Koefoed, O., 1979. Geosounding principles resistivity sounding measurements. Elsevier, Amsterdam.
- LaBrecque D.J, Heath G, Sharpe R, Versteeg R, 2004. Autonomous monitoring of fluid movement using 3-D electrical resistivity tomography, J Environ Eng Geoph. 9, 167-176.
- Meju, M.A., 1994. Geophysical Data Analysis: Understanding Inverse Problem Theory and Practice, SEG, Tulsa.
- Meju, M.A., 1992. An effective ridge regression procedure for resistivity data inversion, Computer & Geosciences, 18, 99-118.
- Nguyen, L.T., Nestorovic, T., 2016. Unscented hybrid simulated annealing for fast inversion of tunnel seismic waves, Comput. Methods Appl. Mech. Engrg., 301, 281-299.
- Sen, M., Stoffa, P., 2013. Global optimization methods in geophysical inversion. Elsevier, Amsterdam.
- Sharma, S.P., 2011. VFSARES- a very fast simulated annealing Fortran program for interpretation of 1-D DC resistivity sounding data from various electrode arrays, Computer and Geosciences, 42 (C), 177–188.
- Slaoui, F.H., Georges, S., Lagace P.J., Do, X.D., 2003. The inverse problem of Schlumberger resistivity sounding measurement by ridge regression, Electric Power Systems Research, 67, 109-114.
- Telford, W.M., Geldart, L.P. and Sheriff, R.E., 1990. Applied geophysics, Cambridge University Press, Cambridge.
- Tikhonov, A.N, Arsenin, VY 1977. Solutions of Ill-Posed Problems. New York, NY, USA: Halsted Press.
- Zhdanov, M.S., Keller, G. V., 1994. The Geophysical Methods in Geophysical Exploration, Elsevier.